

接触酸化装置の基質除去機構の検討

A Research on the Mechanism of Substrate Removal of the Contact Oxidation Reactor.

住友重機械工業株式会社

青井 透

1. はじめに ^{1),2)} 接触曝気法は、従来の活性汚泥法と散水汙床法の中向型ともいべき方法で、曝気槽中に充填材をいれ付着した生物膜に有機物の除去を期待する装置である。この装置の特徴として、a)汚泥返送の必要がない。b)生物相が多様で糸状菌も使用できバルキングの心配がない。

c)汚泥生成量が少なく、また次澄しややすいので最終沈殿池を小さくできる。d)有機物負荷の変動に比較的強い。e)汙床パ工・臭気が発生せず維持管理が簡単である。等が言われているが、³⁾ 反面汙床が汚泥化して汚泥除去が困難となったり、除去効率がそれほど良くないといった欠点があるため、⁴⁾ 高い可能性を持ちながらもほとんど実用化されていないのが現状である。

小島は、⁴⁾ 浄水処理の前処理として低濃度BODとNH₄-Nの除去を目的としてハニーカム充填材を用いた接触酸化装置を開発したが(図-1)、この装置は従来の接触曝気法と異なり、曝気の二つの効果である溶存酸素の供給と生物膜との接触作用を分離し、曝気部分で溶存酸素を充分供給した水を、表面積が大きく流れ方向が異なるハニーカム充填材中で循環させ、

肥厚老朽化した生物膜は剪断によりすみやかに除去し、また表面積の大きな生物膜に常に充分なO₂と基質を供給することにより除去速度を増大させて、上述した接触曝気法の二つの欠点を克服しようとした装置である。この装置は水質変動に強く運転管理が簡単と思われるから、技術者のいない小規模下水処理場や産業廃水の二次処理にも応用できると小島は述べている。

ところでこの装置は一種の生物膜反応装置であるが、生物膜反応装置としては散水汙床法の基質除去機構が若干研究されており、動力学的に散水汙床の除去機構を説明しようとした研究の多くは、生物膜液環境側の物質輸送が除去速度を律速していると結論としていふ事を考えると、ハニーカム形接触酸化装置においても低濃度領域では液膜側拡散が律速因子となる可能性がある。著者は特にこの点に注目し、物質輸送と微生物の代謝速度を基本的現象としてとらえ、ハニーカム形接触酸化法の除去機構説明を目的としてパッチ実験を行なったので結果を報告する。

2. 除去モデルと解析の方法 本接触酸化法の除去モデルを、次のように考えた。(図-2) セル内の流れは乱流と仮定する。乱流中心は基質濃度は均一であるが、スライム層付近には流速が壁面の摩擦応力を受ける粘性底層と呼ばれる速度境界層が存在し、この境界層内では物質は分子拡散によりのみ移動するので、この境界層の拡散量はFickの拡散方程式で表わされる。

$$N_i = -D \cdot A \cdot dc/dx \quad (2-1)$$

(N_i: 時間当り拡散量, D: 分子拡散係数, A: 表面積, dc/dx: 濃度勾配) 【領域 I】 基質濃度が低い場合には、基質濃度の上昇に伴って拡散量N_iは増大するが、生物膜スライムの

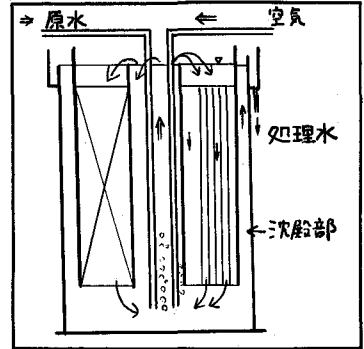


図-1. ハニーカム型接触酸化装置

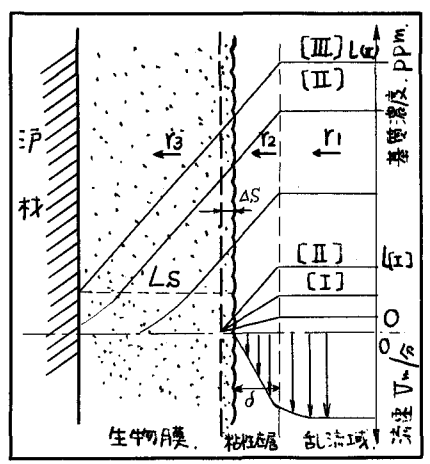


図-2. 除去モデル

代謝速度が速いためスライム層表面の薄い層 ΔS 内の全量が除去されよう、この領域ではスライムの微生物代謝速度 \gg 拡散速度となり、液膜側拡散速度が全体の律速因子となる。この時の基質除去速度は一次反応で $dc/dt = -k_2 C \dots (2-2)$ で表わされる。【領域Ⅱ】さらに基質濃度が上昇して L 以上となると、拡散量が多いためスライム表層 ΔS 内では除去しきれず基質はスライム層内に拡散していく。基質濃度が高い程、基質はスライム層深く拡散して行き基質除去に携わるバクテリアの量が増加してくる。この領域ではスライム層内拡散が全体の律速因子であり、もはや液膜側拡散は律速因子ではない。この時の基質除去速度は $dc/dt = -k_1 C \dots (2-3)$ で表わされる。【領域Ⅲ】さらに基質濃度が上がると、 L 以上となると、スライム層最深处でも基質濃度は L_S (スライム中のバクテリアが最大除去速度となる基質濃度) 以上となり、スライム層全体が最大除去速度で基質を除去する事になり、この段階ではスライム生物膜の代謝速度が律速因子となる。

本装置において【領域Ⅰ】、【領域Ⅱ】がどの濃度範囲にあるかを知る事が必要である。経時的に基質が除去されて減少していく【領域Ⅲ】→【領域Ⅰ】までの過程をたどる場合にはそのパターンは図-3のように表わされる。どのようなパターンになるかは微生物の代謝速度と拡散速度の兼ね合いであり、たとえば硝化反応のように代謝速度が非常に遅い場合には、ごく低濃度まで代謝速度が律速となり図-3(a)のようなパターンとなり、逆に本実験のようにカルコースを基質に用いた場合には代謝速度が非常に大きいため高濃度領域から拡散速度が律速となり、図-3(b)のようなパターンとなる。本実験で用いたカルコース馴養汚泥は、活性汚泥パッチ法で経時変化を測定すると0次反応の基質除去を示し、除去速度は $0.8 \text{ mg グルコース} / \text{gr SS} / \text{hr}$ と代謝速度としては異例に高いため拡散現象を究明する場合には非常に都合がよい、5分間に代基質馴養汚泥の代謝速度をあげた時、当実験室におけるスライムミルク馴養汚泥のそれは約 $0.1 \text{ gr スライムミルク} / \text{gr SS} / \text{hr}$ であり、(アプト)馴養汚泥のそれは $0.09 \sim 0.12 \text{ gr アプト} / \text{gr SS} / \text{hr}$ とカルコース汚泥のそれの約 $1/10$ であり、実際の下水処理場汚泥の下水中有り物代謝速度もこの程度と思われる。

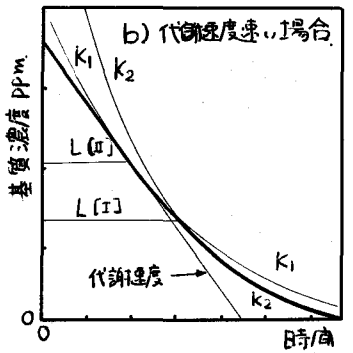
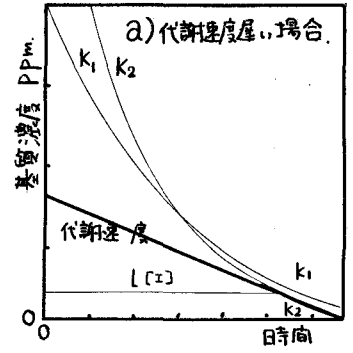


図-3. 除去モデルによる基質除去パターン

【液膜側拡散が律速の場合の δ と K_2 の関係】

【領域Ⅰ】における δ と K_2 の関係は(2-1)と(2-2)式を用いて計算できる。【領域Ⅰ】においては、ごく薄いスライム膜厚 ΔS ($\Delta S < \delta$)にて基質は全量除去されるので、濃度分布は近似的に L/δ で表わされる。 $L_0 = 100 \text{ ppm}$ の場合を考えると、 D と A は定数と改定でき、 δ を仮定して(2-1)を代入すれば拡散速度 N が求まる。この領域では拡散した量はすべて代謝されるから $dc/dt = -k_2 C = N$ であり、この場合 $L = 100 \text{ ppm}$ であるから $C = L = 100 \text{ ppm}$ を代入すれば K_2 が求まる。このようにして K_2 と δ の関係が求まる。装置条件を実験時と同じとして、上記のように δ を仮定して計算した場合の除去パターンは図-4となる。もし実際の反応において液膜側拡散が律速の場合には実験値 K_2 から δ を知ることができ、

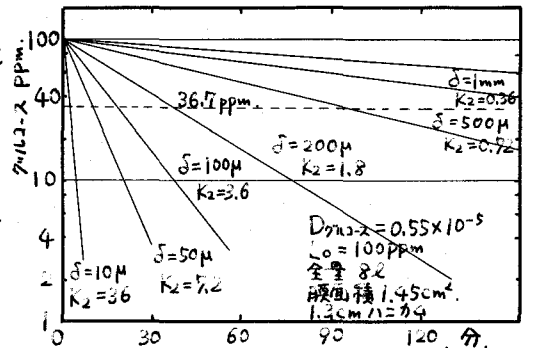


図-4. 除去モデルより δ を仮定した場合のカルコース除去パターン

3. 実験装置および方法 使用した装置は図-5に示すような硬質透明塩化ビニル製で、槽は8L、4連であると同時に4つの異なる条件で運転できる。図-5の左側は曝気部分であり、酸素を溶解させるとともに、エアリフトにより水を浮床部へ循環させる。仕切り板はスライド可能で、右側のハニーカム充填材は必要に応じて取り出し重量を測定できる。充填材と仕切り板を上下させて調節させる事により、充填材部分の水流はほぼ平行流と流れる。ハニーカムセル内流速は、ピトー管を作成し必要に応じて測定した。充填材はJ社製のもので六角柱断面をしており素材は硬質塩化ビニルで、空隙率は97%であり、素材の占める体積はわずか3%にすぎない。右側に恒温槽を設け熱帯魚用ヒーター、サーモスタットにより温度を20±1°Cに調節した。空気量はフローメーターを通して測定し、槽当たり3.3L/分であり、その時のKLaは約30(hr⁻¹)と高く酸素の供給は充分である。

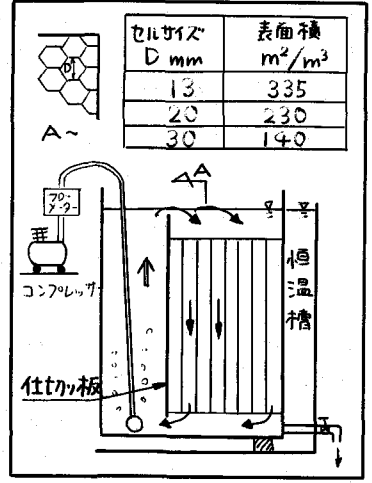


図-5. 実験装置.

種汚泥は札幌市S処理場幹線汚泥を用い人工基質(グルコース100~400 ppm)を4ヶ月以上、24時間静置 and drawを馴養した後実験に供した。微生物の諸性状は長時間スケールの試験と必要しも定率的ではなかったため一連の実験は一週間以内に連続して行ないその相対値を比較した。人工基質はグルコースを炭素源としNH₄Clを窒素源、リン源およびpH緩衝剤としてリン酸緩衝液を用い水道水で希釈した。硝化作用によりpHが低下するので初期pHは約8.3に設定した。

グルコースの分析にはモノリン酸法を用いた。この方法は非常に迅速かつ再現性の高い方法があるので、この点を利用して基質投入後は5分間隔でサンプリングを行ない、一つの実験当りの測定値を揃えて、グラフにプロットした場合の直線のあとに正誤を期した。ごく低濃度の上述水SSの測定には、ガラス繊維濾紙(WATTMAN, GFB)を用い大量の試料(1L)を濾過した。なおその信頼性確認のため濾液を0.45μmメソフィルタで再び濾過しSSを測定した。ハニーカムのスライム量は、充填材ごとに取り出して一定時間空中放置後湿重量を測定し、別に求めた含水率より乾燥重量を換算した。一定時間放置後のスライム湿重量を、密度を1として表面積で割って平均スライム厚を求めた。各実験時に湿スライムを一部無酸素皿にとり出して乾燥させ含水率を求めた。スライム含水率は1時間空中放置後で約93~94%であった。

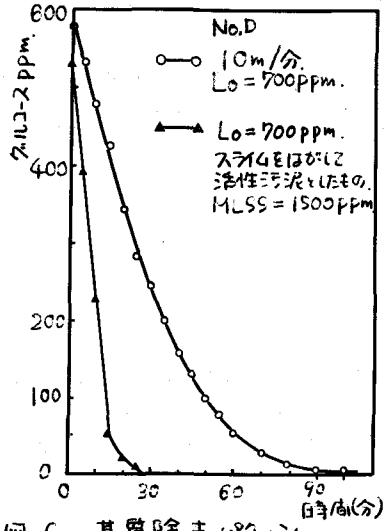


図-6. 基質除去パターン.

4. 結果および考察 1) 除去速度と生物代謝速度の関係 本装置パッケージ実験における基質除去の典型的なパターンを図-6に示す。○は、ポンプ(80L/分)を循環させて流速10m/分で運転した場合であり、除去速度は初期において約1500ppm/hrであり一次反応に近似できる。▲▲は、進行充填材に付着している生物膜をすべてはがし槽内に溜め、同時にポンプを循環させて活性汚泥とした場合のパターンである。この場合のMLSS = 1500ppmで、除去速度は約1900ppm/hrであり、50ppm以下まで0次反応に低下し30分の基質は除去された。この場合にはフロックは細分化され、ポンプにより強い撹拌を受けているため、ほぼ生化学的代謝速度と思はれる。この二つを比べると、

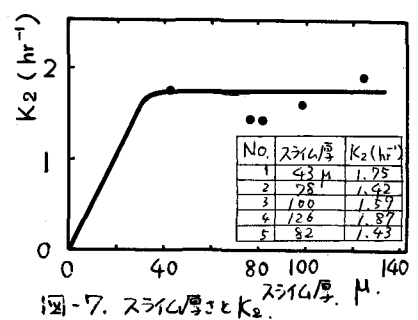


図-7. スライム厚とK₂.

グルコース除去の場合、本装置は拡散現象が律速となることがわかった。10、100種の実験を硝化作用にのみ行った場合には、硝化速度は、活性汚泥にした方がわずかに速くなるが除去パターンは変化なく有意の差はなかった。¹²⁾

2) 除去速度とスライム厚さの関係。スライム厚さのみ種々異なり、同一形の充填材を用いたが、基礎濃度の総的強化

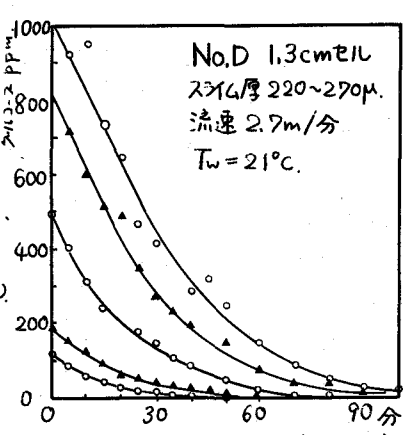


図-8. No. D L_0 変化による除去パターン変化

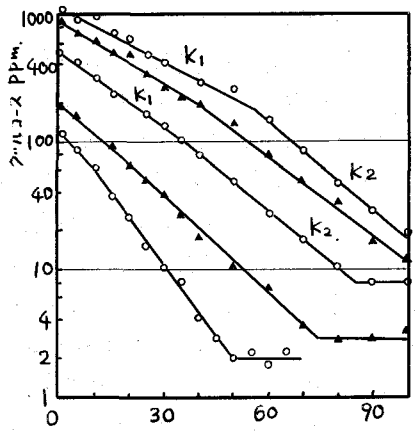


図-9. 片数プロット

を用いた基礎濃度の総的強化を調べその除去速度定数 K_2 (本装置の除去パターンはきれいに一次式にのる) とスライム厚さとの関係を探ると図-7 のようになり初期濃度 100ppm の場合には、スライム厚 40 μ 以下では除去速度はスライム厚と関係なく一定であった。この条件では基礎の除去に適合したスライム厚さは 40 μ 以下のごく薄い層であることがわかる。3) 除去速度とグルコース濃度 (L_0) の関係

直径 1.3cm のハネカム充填材に充分スライムを馴らした後、初期濃度も変化させた場合の基礎除去パターンの変化を図-8 に示す。濃度が高い程、除去速度は速くすべの場合と 10 分以内にはほぼ除去が終っている。片数数値にプロットすると図-9 とになり、グルコース濃度が 100-200ppm のときの折れ曲線が二本の直線に近似できる。これは図 3-(b) に対応するものと見られ、それぞれ傾きを K_1 , K_2 とすると常に $K_1 > K_2$ である。図-10 は図-8 と同じ 1.3cm 径の充填材で実験したものであるが、スライム厚さが 80、100 μ と図-8 の場合の約 1/3 しかない場合の実験結果である。この場合には図-8 とは異なり、初期濃度が高いほどにすべに除去が終了するに要する時間が長くなる。この二つの実験におけるそれぞれ基礎投入 5 分後の瞬間除去速度 (K_1 ($t=5$ min)) を求め、それぞれ初期基礎濃度 L_0 に対してプロットすると図-11 が得られる。同一形の充填材にもかかわらず高濃度領域での除去速度が異なってくることは、No. D ではスライム厚さが充分にあるため濃度の上昇に伴い、スライム内拡散量が増加し除去に適合するスライム量が増加するが、No. C ではスライム層が薄いために低基礎濃度でスライム全層が最大除去速度となる。このため、それ以上基礎濃度を高めると除去速度が増大しないと思われる。基礎濃度のヒヤに伴う除去に適合する生物量自体が増大するという事は一種の自動制御作用であり、 F/M を考えれば F が増加することにより M も増加するため F/M はそれほど増加せず、図-7 でわかるように基礎濃度が低い場合には 40 μ 以下のごく薄い層のみが除去に有効であるが、スライム層が充分な厚さを持つ事はそのスライムが濃度の増加に対してそれだけの緩衝液を進行、という事である。この事、散水汚染等の生物汚染防止装置が負荷変動に強いこととわらう。この事の一の裏付けとなる。基礎濃度 L_0 が 100ppm 以下の低濃度の場合に L_0 の変化に伴う除去パターン (片数プロット) の変化を図-12 に示す。 L_0 を低下させても基礎除去速度定数 K_1 は一定であるが、こ

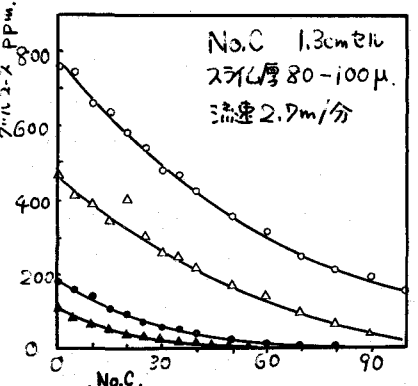


図-10. L_0 変化による除去パターン変化

この場合、スライム厚さが 80、100 μ と図-8 の場合の約 1/3 しかない場合の実験結果である。この場合には図-8 とは異なり、初期濃度が高いほどにすべに除去が終了するに要する時間が長くなる。この二つの実験におけるそれぞれ基礎投入 5 分後の瞬間除去速度 (K_1 ($t=5$ min)) を求め、それぞれ初期基礎濃度 L_0 に対してプロットすると図-11 が得られる。同一形の充填材にもかかわらず高濃度領域での除去速度が異なってくることは、No. D ではスライム厚さが充分にあるため濃度の上昇に伴い、スライム内拡散量が増加し除去に適合するスライム量が増加するが、No. C ではスライム層が薄いために低基礎濃度でスライム全層が最大除去速度となる。このため、それ以上基礎濃度を高めると除去速度が増大しないと思われる。基礎濃度のヒヤに伴う除去に適合する生物量自体が増大するという事は一種の自動制御作用であり、 F/M を考えれば F が増加することにより M も増加するため F/M はそれほど増加せず、図-7 でわかるように基礎濃度が低い場合には 40 μ 以下のごく薄い層のみが除去に有効であるが、スライム層が充分な厚さを持つ事はそのスライムが濃度の増加に対してそれだけの緩衝液を進行、という事である。この事、散水汚染等の生物汚染防止装置が負荷変動に強いこととわらう。この事の一の裏付けとなる。基礎濃度 L_0 が 100ppm 以下の低濃度の場合に L_0 の変化に伴う除去パターン (片数プロット) の変化を図-12 に示す。 L_0 を低下させても基礎除去速度定数 K_1 は一定であるが、こ

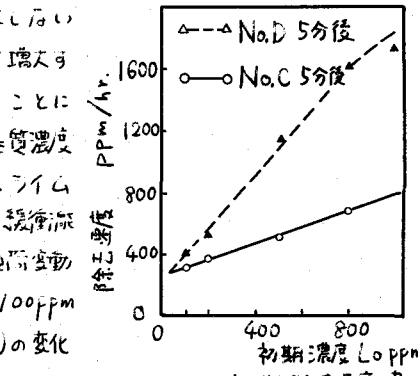


図-11. 初期除去速度の違い

れは液膜側拡散が律速となる、といふためと思われる。

4). 除去速度と流速の関係. ① 図-13に示すような装置でポンプ(最大84ℓ/分)を用いて流速変化実験を行なった。流速はバルブで制御(流量はその都度20ℓバケツを満す時間を測定して求めた。ポンプの吐出し口には整流板を付けて、直接に強い流れがハニカムスライムに当たらないようにした。ポンプの運転に伴な、水温度が上昇するので水温を測定し、基礎除去が終了時点でポンプを停止しエアリフトにて循環させた。ポンプを停止させる直前に循環水を採取しSSを測定した。実験は12時間 fill and drawで行ない流速は1m/分から10m/分まで変化させた。本装置のエアリフトによる流速は通常2.5m/分であるから10m/分はこの装置においては非常に速い流速である。実験の結果を表-1と図-13に示す。流速と K_1 , K_2 の関係は図-14に示したが、除去速度は流速による、と著しく変化するのがわかる。表-1より流速は7.5m/分と $Re=1630$, 10m/分と $Re=2170$ と乱流域にはいるはすであるがそのために K が特に上昇する傾向はなかつた。横軸に近々接触距離(流速×時間)をとると、図-13を書きかえこの場合の除去速度定数(m^{-1})を求めこれと流速との関係をもとめると図-15となった。もし除去速度が接触回数だけに影響されているとすれば近々接触距離当りの除去速度は一定にはなるはすであるからこの例は基礎除去速度が接触回数以外の流速因子に影響されていることを示している。

② 図-16

のように、
エアリフトで
循環している
槽のハニカム
上部半分を

表-1. 流速変化実験の結果. *SSの()の値は、35に
X2.5の割合で読み取る。

	流速(m/分)	Re	K_1 (hr ⁻¹)	K_2 (hr ⁻¹)	SS(ppm)
1	0.94	220	0.97	1.40	8.3
2	3.0	650	1.50	2.08	2.7
3	4.7	1080	2.17	3.26	6
4	7.15	1630	2.90	4.7	5.2
5	10.1	2170	3.82	6.57	4.5(2.3)

矩形の塩に板で塞いで流れを止めると、ハニカム充填部分の抵抗はごくわずかであるため流速は変わらないが表面積は半分になる。流速は2倍となる、近々液膜側拡散は律速である。他、条件を同じくこの二つの場合について除去パターンを比較すると、

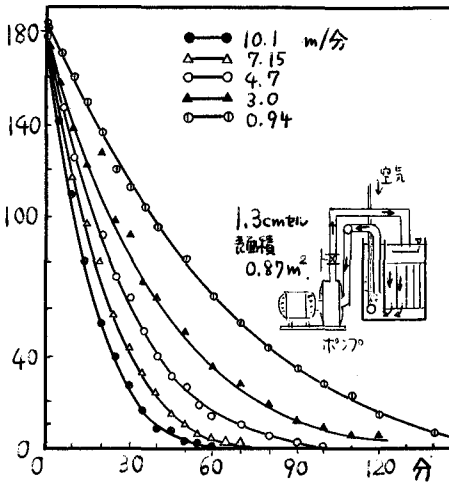


図-13. 流速による除去パターンの変化。

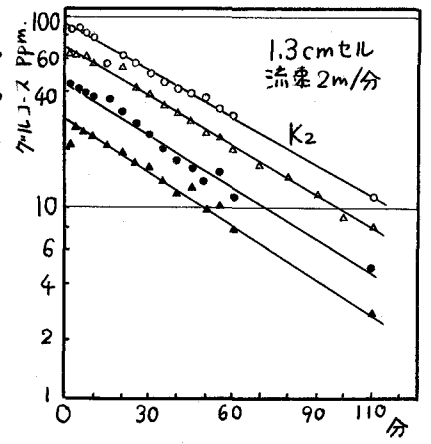


図-12. 低濃度領域での除去パターン。

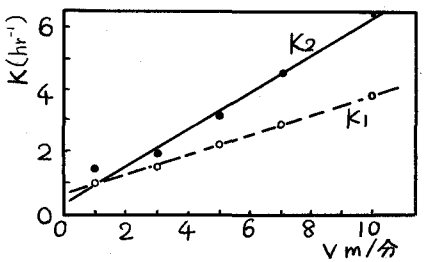


図-14. 流速と K_1 , K_2 の関係

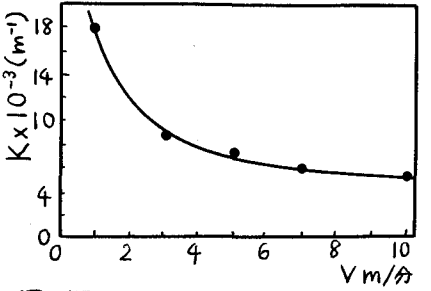


図-15.

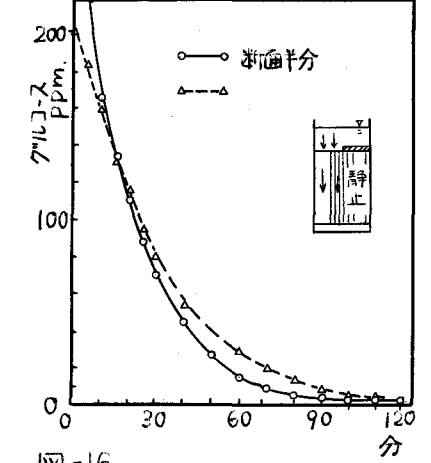


図-16

図-16となり半分塞いだ場合はフタをされた部分のハニコーカム充填材中の水は静止したままの¹⁾有効流動容積は小さくなり同量のグルコースを加えた場合初期濃度はフタをしない場合より高くなるにもかかわらず早い速度で除去された、この場合酸化速度は逆にフタをしない場合の方が速か、た、流速変化が除去速度に及ぼす影響と、表面積変化が除去速度に及ぼす影響とは、流速による影響の方が大きいと思われる。

5) 生物相について、¹¹⁾ 散水浮床においては生物相が非常に豊かだと言われ¹²⁾ あり、又接触曝気法においても生物相は複雑であると言われているが本装置においてもそれが裏付けられた、fill and draw方式でグルコースとNH₄Clを馴養された活性汚泥には通常原生動物はほとんど出現しないが、同じ条件で馴養した本装置の生物膜スライムには多種多様な原生動物が出現した、生物相ははじめはズーグレアバクテリアが優先であったが時間の経過とともにfungiのコロニーが発生し始めるにはGeotricumと思われるfungiが表面を覆い、¹³⁾ ときどき、スライム層底部にはしばしばSphaerotilusが見られたが、これらの糸状菌生物は密にからみあ、粘り強いスライムを形成し脱落する場合はひものような大きなスライムと脱落した。このような状態のスライムは、もしそれがほとんど糸状菌類のfungiより構成されるときと次第培養はきわめて早く固液分離は完全であった。原生動物はParamecium, Colpidium等の¹⁴⁾ 匍匐性繊毛虫が多く、又後生動物である輪虫(Rotifer), ネマトームも多く見られた、その他Euglypha等の根足虫類がしばしば見られたが、Vorticella等の付着性繊毛虫類はほとんど出現せず他にはミミズやタコがしばしば飼養された。

5. まとめ

ハニコーカム形接触曝気法の除去機構を解明するためにバッチ実験を行なった、低濃度での液環境拡散に光をあるため粘性底層を考慮した除去モデルを使用した。実験の結果はこのモデルでよく説明された。本装置も散水浮床と同様、低濃度領域では液環境拡散速度が律速となることがわかった。グルコース馴養生物膜を用いた実験では、グルコース濃度/100 ppm付近より液環境拡散速度が律速となりその時の粘性底層は約100μ程度と思われる。液環境拡散が律速となる濃度は、その物質の生物代謝速度と分子拡散係数により決定されるが、本実験で用いたグルコース馴養スライムは代謝速度が著しく速く、それに対して実験水を基質としているスライムの代謝速度は約この1/10程度と思われるので、実験水を用いた場合、本装置が液環境拡散速度律速となるのは相当低いものと思われる。本装置の効率に影響を与える主要因子は表面積と流速であり、また本装置では糸状菌も本如く使用して固液分離は容易である事を確認した。

終りに、本研究に当り、吉川貞敬教授をはじめとする当研究室の諸君にさまざまな協力をしていただいた。特に博士課程学生 加藤氏には謝辞にのぞく示唆をいただいた。4年目学生 吉川、五島両君には実験に協力していただいた。また親日本水道工科大学長 小島貞男博士には貴重な研究の機会をいただいた。

あわせて感謝の意を表したい。なお、本論文は読者弘道大学衛生工学科在籍当時行った修士論文の一部

参考文献 まよとのおもてあつとを付記する。

1) 津田松酒(1964); 水処理技術, Vol. 5, No. 10, pp 15-24, 2) 奥川, 増田(1965); 下水道水道研究発表会講演集 28p, 3) 内口義彰(1970); 水処理技術, Vol. 11, No. 2, pp 3-4, 4) 小島貞男(1971); 水, Vol. 13, No. 11, pp 21-4, 5) Atkinson, and Swilley (1967); Trans. Instn. Chem. Engrs, Vol. 45, T257-264p 6) Atkinson, and Daoud (1968); Trans. Instn. Chem. Engrs, Vol. 46, T245-250p 7) Maier, and et al, (1967); ASCE, SA4, pp 71-72, 8) Michta, Davis, and Kingsbury, (1972) ASCE, SA3, pp 471-489, 9) 尾谷, 録田(1972); 北大衛生工学科1972年度卒業論文, 10) 山本(1972); 北大衛生工学科1972年度卒業論文, 11) Hawkes, (1963); The Ecology of Waste Water Treatment, pp 72-77. Pergamon Press, 12) 加藤, 奥川; (1967), 22th Industrial Waste Conference Furue Univ, pp 26-27, 13) 吉川, 五島(1972); 北大工部衛生工学科1972年度卒業論文.